

УДК 535.37

© 1990

## ЭНЕРГИЯ ПЕРЕКРЫВАНИЯ И РАСПЩЕПЛЕНИЕ УРОВНЕЙ *d*-ИОНОВ В КРИСТАЛЛАХ

*Б. Я. Мойжес, С. Г. Супрун*

Величина расщепления *d*-уровня в кристаллах ( $\Delta$ ) выражается через энергию перекрывания *d*-электрона с электронами лиганд. Это позволяет качественно объяснить такие экспериментальные факты, как зависимость  $\Delta$  от заряда и радиуса катиона, от высокоспинового или низкоспинового состояния его *d*-оболочки, а также от размеров и формы лиганд.

В связи с открытием высокотемпературной сверхпроводимости в купратах усилился интерес к теории окислов переходных металлов. Анализ их основных свойств — энергии связи (цикл Борна—Габера), магнетизма, поведения вакансий и примесей, фононного спектра и пр. — показывает, что окислы переходных металлов являются кристаллами с преобладающим ионным типом связи.

### 1. Энергия перекрывания в ионных кристаллах

Энергия  $E$  образования кристалла из ионов в основном определяется электростатической энергией Маделунга  $E_M$  и энергией  $E_n$ , связанной с перекрыванием электронных оболочек ионов [1],

$$E = E_M + E_n. \quad (1)$$

С энергией перекрывания электронных оболочек связаны силы отталкивания, которые в положении равновесия (минимума  $E$ ) уравновешиваются электростатические силы.

Имеются два основных подхода к вычислению  $E_n$ : 1) Хартри—Фока (Лёвидин [2]) с учетом неортогональности электронных орбиталей ионов и 2) на основе теории Томаса—Ферми (Иенсен, Гамбош [2, 3]). Метод Томаса—Ферми проще и в 70-е годы был с успехом применен [5–8] для расчета энергии и постоянных решетки, упругих свойств, фазовых переходов под давлением и других параметров разных ионных кристаллов [5–8]. В методе Томаса—Ферми [3, 4]  $E_n$  слагается из изменения кинетической, обменной и корреляционной энергий при перекрывании оболочек ионов

$$E_n = \Delta E_{\text{кин}} + \Delta E_{\text{обм}} + \Delta E_{\text{кор}}. \quad (2)$$

При перекрывании волновых функций электронов с параллельными спинами определяющее значение имеет первое слагаемое в (2), которое учитывается в классическом методе Томаса—Ферми [4].

$$\Delta E_{\text{кин}} = c_e \int (n^{1/3} - n_{A0}^{1/3} - n_{K0}^{1/3}) dV, \quad (3)$$

где  $c_e$  — константа [3, 4];  $n$ ,  $n_{A0}$  и  $n_{K0}$  — распределение электронной плотности в кристалле и анионах и катионах соответственно. Для дальнейшего удобно положить

$$n = n_A + n_K,$$

где  $n_A$  и  $n_K$  — электронная плотность аниона и катиона в кристалле. С достаточной точностью можно считать, что

$$(n_A + n_K)^{5/3} \approx n_A^{5/3} + (2^{5/3} - 2) n_A^{5/3} n_K^{5/3} + n_K^{5/3} \quad (5)$$

как в области перекрывания ( $n_A \sim n_K$ ), так и вне ее.<sup>1</sup> Получаем

$$\Delta E_{\text{пер}} = c_e \int [(n_A^{5/3} - n_{A0}^{5/3}) + (n_K^{5/3} - n_{K0}^{5/3}) + (2^{5/3} - 2) n_A^{5/3} n_K^{5/3}] dV. \quad (6)$$

Первые два слагаемых дают изменение кинетической энергии при деформации ионов, третье является собственно энергией перекрывания

$$E_n = c_e (2^{5/3} - 2) \int n_{A0}^{5/3} n_{K0}^{5/3} dV. \quad (7)$$

Поскольку степень  $5/6$  очень близка к единице, то вклад отдельных электронов катиона в энергию перекрывания (7) получается почти аддитивным:

$$E_n = \sum_i v_i h_i f_i, \quad (8)$$

где  $v_i$  — количество электронов в  $i$ -й оболочке катиона,  $h_i$  — вклад усредненного сферически-симметричного электрона оболочки с электронной плотностью  $\langle n_i \rangle$ ,  $f_i$  — фактор анизотропии.

$$h_i = c_e (2^{5/3} - 2) \int n_{A0}^{5/3} \langle n_i \rangle^{5/6} dV = c_e (2^{5/3} - 2) n_{A0}^{5/6} (R_A) \langle n_i \rangle^{5/6} (R_K) \cdot L \cdot V_0, \quad (9)$$

где  $L$  — количество лигантов,  $V_0$  — эффективный объем области перекрывания, получаемый в результате вычисления интеграла. В (9) концентрации  $n_{A0}$  и  $n_i$  выбраны на расстоянии соответствующих ионных радиусов от центра ионов ( $R_A$  и  $R_K$ ).

## 2. Вычисление $\Delta$

При октаэдрическом расположении лигантов пятикратно вырожденный  $d$ -уровень расщепляется на трехкратно вырожденный  $\gamma$ -уровень ( $xy$ ,  $yz$ ,  $zx$ ) и двукратно вырожденный  $\epsilon$ -уровень ( $x^2 - y^2$ ,  $y^2 - z^2$ ).<sup>[9]</sup> Нас в дальнейшем будет интересовать величина  $\Delta$  — разность энергии между  $d_\gamma$ - и  $d_\epsilon$ -уровнями при фиксированном положении лигандов:

$$\Delta = E_\epsilon - E_\gamma. \quad (10)$$

Рассмотрим разные механизмы, дающие вклад в  $\Delta$ . Так как  $d_\epsilon$ -орбиталь направлена прямо на анионы, а  $d_{\gamma}$  — между ними, то определенный вклад в  $\Delta$  должно давать изменение электростатического потенциала, создаваемого лигандами вблизи катиона. Однако, как показывают расчеты [10], электростатический вклад значительно меньше, чем экспериментальные  $\Delta$ . Кроме того, известно, что в растворах часто нейтральные лиганды создают большее  $\Delta$ , чем заряженные.

Имеется [11] и ковалентный вклад в  $\Delta$ . Он связан с незаполненными  $d$ -орбитальями (дырками) в электронной оболочке  $d$ -иона, куда могут переходить (виртуально) электроны с аниона. По теории возмущений такой ковалентный вклад от одного электрона составляет

$$E_{\text{ков}} = -H_{12}^2 / (E_2 - E_1), \quad (11)$$

<sup>1</sup> Формула (5) дает точный результат при  $n_A = n_K$  и погрешность меньше 2 % при  $n_A/n_K = 0.2$ . Следует учесть, что при малых  $n$  метод Томаса—Ферми становится ненадежным, так что рекомендуется [8] даже обрезать функцию  $n(r)$ .

где  $H_{12}$  — матричный элемент перехода,  $E_1$  и  $E_2$  — энергии электрона до и после перехода.

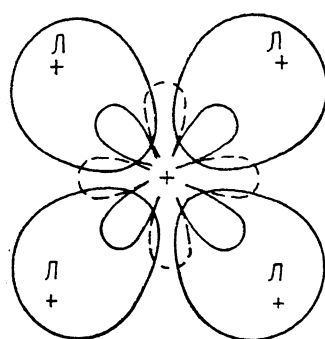
Из рисунка видно, что при переходе  $p_x$ -электрона аниона на  $d_{x^2-y^2}$ -орбиталь катиона образуется  $\sigma$ -связь, а при переходе  $p_y$ -электрона на  $d_{xy}$ -орбиталь образуется более слабая  $\pi$ -связь. При реальном переходе (например, оптическом) электрона катиона с  $d_\gamma$ -на  $d_\epsilon$ -орбиталь исчезает дырка для  $\sigma$ -связи и появляется дырка для  $\pi$ -связи. Поэтому расщепление

$$\Delta_{\text{ков}} = - \sum_L \frac{H_{12}^2(p_L \rightarrow d_\epsilon) - H_{12}^2(p_L \rightarrow d_\gamma)}{E_2 - E_1}. \quad (12)$$

В (12) суммирование распространяется на все лиганда. Чтобы оценить  $\Delta_{\text{ков}}$ , вычислим знаменатель в (12)

$$E_2 - E_1 = \frac{\alpha_K Z_K q}{R_0} + \frac{\alpha_A Z_A q}{R_0} - \frac{q^2}{R_0} - I_+ + I_-. \quad (13)$$

В (13) — первые два слагаемых — разность электростатических потенциалов в катионных и анионных узлах (заряды  $Z_K q$  и  $Z_A q$  и константы



Маделунга  $\alpha_A$  и  $\alpha_K$ ); третье слагаемое учитывает, что виртуальный переход совершается на соседний ион;  $I_+$  и  $I_-$  — соответственно потенциал ионизации катиона и сродство к электрону аниона. Оценки показывают, что для окислов ( $Z_A = 2$ ) с двухзарядными катионами ( $Z_K = 2$ ) величина

Схематическое изображение  $d$ -иона с лигандами (Л) в одной плоскости ( $xy$ ).

Сплошная линия —  $d_{xy}$ -функция ( $x^2 - y^2$ ), пунктир —  $d_z^2$ -функция ( $xy$ ).

$E_2 - E_1 \approx 15 \div 20$  эВ. В то же время  $H_{12} \approx 1 \div 1.5$  эВ, так как  $H_{12}$  — это энергия чисто ковалентной связи на один электрон. Таким образом, получаем, что  $\Delta_{\text{ков}}$  от 6 лигандов равно  $0.2 \div 0.5$  эВ. В то же время экспериментальные значения значительно больше:  $\Delta_{\text{эксп}} \sim 1 \div 2$  эВ и больше [9]. Ковалентный вклад (11) в энергию притяжения возникает за счет деформации электронных оболочек ионов в (6). Однако в целом при перекрывании электронных оболочек преобладает отталкивание. Поэтому можно ожидать, что и в величине  $\Delta$  будет преобладать вклад от энергии отталкивания (7).

Поскольку в (7) перекрываются хвосты волновых функций, можно аппроксимировать  $n_i(r)$  в (9) простыми экспонентами:

$$n_K(r_K) = \sum_i g_i \alpha_i^3 e^{-\alpha_i r_K} Y_i^2(0_K, \varphi_K),$$

$$n_A(r_A) = \sum_j g_j \alpha_j^3 e^{-\alpha_j r_A} Y_j^2(0_A, \varphi_A), \quad (14)$$

где  $Y_{i,j}$  — нормированные сферические функции ( $\int Y^2 d\Omega = 1$ ),  $g_{i,j}$  — весовые множители, зависящие от детального хода волновых функций при малых  $r$ .

Можно использовать симметрию задачи, если записать  $Y_i^2$  в кубически симметричной форме

$$Y_\gamma^2 = 5(x^2y^2 + y^2z^2 + z^2x^2), \quad Y_\epsilon^2 = \frac{5}{2}(x^4 + y^4 + z^4 - x^2y^2 - y^2z^2 - z^2x^2), \quad (15)$$

подставляя (14) и (15) в (6) и (9), можно найти  $h_i$  и  $f_i$ . Тогда

$$\Delta = h_d(f_\epsilon - f_\gamma). \quad (16)$$

Удобно величину  $\Delta$  отнести к полной энергии перекрывания, так как энергия перекрывания всегда составляет 10—15 % энергии Маделунга  $E_M$ :

$$\frac{\Delta}{E_n} = \frac{h_d (f_e - f_\gamma)}{h_d (\nu_e f_e + \nu_\gamma f_\gamma) + \sum_{i \neq e, \gamma} \nu_i h_i f_i}.$$

Эта формула удобна для сравнения с экспериментом.

Величины  $f_e$  и  $f_\gamma$  вычислялись нами в предположении, что расстояние между ионами  $R_0 = 2.4 \text{ \AA}$ , электронная плотность ( $\nu_A^{f_e}$  и  $\nu_R^{f_\gamma}$ ) спадает по закону  $n(r) \sim e^{-r/\rho}$  с  $\rho = 0.3 \text{ \AA}$  и радиусы ионов примерно равны. Оказалось, что  $f_e = 1.55$  и  $f_\gamma = 0.59$ . Интегралы по углам вычислялись методом узловых точек [12]. Следует ожидать, что отношение между  $f_e$  и  $f_\gamma$  будет не сильно зависеть от  $R_0$  и  $\rho$ .

В случае  $d$ -ионов с большим количеством  $d$ -электронов можно в знаменателе оставить только вклад  $d$ -электронов в энергию перекрывания. Получаем совсем простое выражение

$$\Delta/E_n \approx (f_e - f_\gamma)/(\nu_e f_e + \nu_\gamma f_\gamma). \quad (18)$$

Применим (18) к вычислению  $\Delta$  для иона  $Mn^{2+}$ :  $\nu_e = 2$  и  $\nu_\gamma = 3$ . Получаем  $\Delta/E_n = 0.2$ . Считая  $E_M = 45 \text{ эВ}$ , как для  $MnO$ , и полагая  $E_n \approx 1/8 E_M$ , получаем  $\Delta \approx 1.1 \text{ эВ}$ . Экспериментальные значения получаются в пределах 1.0—1.2 эВ [9]. Так как формула (18) должна давать несколько завышенные значения  $\Delta$ , то полученное значение не отрицает вклада других механизмов (электростатического, ковалентного) в  $\Delta$ . Однако нам представляется, что вклад энергии перекрывания (7) в  $\Delta$  является главным.

### 3. Сравнение с экспериментом

1. Прежде всего отметим, что экспериментально наблюдается глубокая аналогия между свойствами  $d$ -ионов в кристаллах и водных растворах [13, 14]. Роль энергии Маделунга в водных растворах играет электростатическая энергия поляризации вокруг катиона

$$E_s = \frac{Z^2 q^2}{2r} \left(1 - \frac{1}{\epsilon}\right), \quad (19)$$

где  $r$  — радиус полости в растворителе, занимаемой ионом.

Энергию перекрывания можно по-прежнему написать в виде

$$E_n = A e^{-r/\rho}. \quad (20)$$

Из условия минимума полной энергии имеем

$$E_n = \frac{Z^2 q^2}{2R_0} \left(1 - \frac{1}{\epsilon}\right) \frac{\rho}{R_0}. \quad (21)$$

А полная энергия сольватации

$$E_c = (E_s + E_n)_{r=R_0} = \frac{Z^2 q^2}{2R_0} \left(1 - \frac{\rho}{R_0}\right) \left(1 - \frac{1}{\epsilon}\right), \quad (22)$$

где  $R_0$  — радиус иона в растворе, близкий к физическому радиусу катиона в кристалле [15].

При реальных значениях радиусов ионов, величины энергии перекрывания в растворе (21) и в кристалле (9) получаются очень близкими. Отсюда становится понятным, почему экспериментальные величины  $\Delta$  у  $d$ -ионов в кристаллах и растворах получаются близкими при одинаковых лигандах.

2. Величина  $\Delta$  растет с зарядом  $z$  иона. Для двухзарядных  $3d$ -ионов  $\Delta$  составляет приблизительно  $10\ 000 \text{ см}^{-1}$ , а для трехзарядных —  $\sim 20\ 000 \text{ см}^{-1}$  [9, 12]. Именно такое увеличение  $\Delta$  и следует из нашего

рассмотрения, так как энергия Маделунга пропорциональна  $Z^2$ , энергия перекрывания составляет 10—15 % от  $E_m$ , а  $\Delta$ , согласно (17), составляет определенную часть энергии перекрывания.

3. Величина  $\Delta$  зависит от лигантов, окружающих  $d$ -ион. Для растворов составлен специальный ряд, в котором лиганды расположены в порядке увеличения  $\Delta$ , — спектрохимический ряд [9, 13]. В случае лигандов-гомологов, например отрицательных ионов галогенов,  $\Delta$  растет от  $I^-$  до  $F^-$ . С нашей точки зрения, это объясняется тем, что чем меньше радиус лигандов, тем меньше перекрывание  $d_\gamma$ -ионов с лигандами (см. рисунок). С точки зрения ковалентной теории  $\Delta$  этот факт объяснять труднее, так как связи с фтором имеют большую ионность, чем связи с иодом. Имеет значение и форма лиганда. Небольшие лиганды продолговатой формы, например  $CN^-$  или  $CH_3$ , создают наибольшие  $\Delta$ . Этого и следовало ожидать, так как в этом случае энергия перекрывания электронов лигандов и  $d_\gamma$ -электронов получается меньше, чем для ионов сферической формы.

4. Различие в энергии перекрывания  $d_e$ - и  $d_\gamma$ -орбиталей с лигандами является причиной того, что эффективный радиус  $d$ -иона в кристалле зависит не только от заряда, но и от конфигурации  $d$ -оболочки [15]. Ионы, имеющие от 4 до 8  $d$ -электронов включительно, в кристаллах и растворах могут в зависимости от окружения (лигандов) находиться в высокоспиновом или низкоспиновом состоянии. В то же время свободные  $d$ -ионы в соответствии с правилом Хунда всегда находятся в высокоспиновом состоянии, так как в нем энергия отталкивания электронов на ортогональных орбиталях минимальна. В кристалле кулоновское отталкивание ослаблено — нефелоакустический эффект [9, 18]. В то же время взаимодействие  $d$ -электронов с лигандами делает  $d_\gamma$ -состояние более выгодным, чем  $d_e$ , на величину  $\Delta$ . Поэтому в конденсированной фазе низкоспиновое состояние, при котором максимальное количество электронов находится на  $\gamma$ -орбиталях, может стать более выгодным. Все это хорошо известно. Однако более новые структурные исследования показали, что в низкоспиновом состоянии  $d$ -ионы имеют меньший радиус, чем в высокоспиновом состоянии [15]. А так как энергия перекрывания  $d$ -орбитали с электронами лиганда очень сильно зависит от расстояния между катионом и лигандом, то и величина  $\Delta$ , измеряемая из оптических переходов (при фиксированном положении лигандов), в низкоспиновом состоянии иона оказывается значительно большей, чем в высокоспиновом. Приближенно

$$\Delta_{bc}/\Delta_{sc} = \exp [(R_{bc} - R_{sc})/\rho], \quad (23)$$

где  $R_{bc}$  и  $R_{sc}$  — радиусы катиона в высокоспиновом и низкоспиновом состояниях.

С другой стороны, из условия равновесия легко получить, что

$$\left( \frac{R_A + R_{bc}}{R_A + R_{sc}} \right)^2 \cdot \frac{\sum f_i N_i^{bc}}{\sum f_i N_i^{sc}} = \exp \left( \frac{R_{bc} - R_{sc}}{\rho} \right). \quad (24)$$

Для иона  $Mn^{2+}$  из (24) получается  $R_{bc} - R_{sc} \approx 0.19 \text{ \AA}$  при  $\rho = 0.3 \text{ \AA}$ , тогда как экспериментальное значение этой величины  $0.16 \text{ \AA}$ . Это различие можно отчасти объяснить тем, что при расчете по формуле (24) учитывались только  $d$ -электроны катиона.

5. Из эксперимента известно, что  $4d$ - и  $5d$ -ионы имеют большие  $\Delta$ , чем  $3d$ -ионы [9, 12]. С нашей точки зрения, это можно объяснить тем, что для  $4d$ - и  $5d$ -ионов характерны низкоспиновые состояния, а для  $3d$ -ионов — высокоспиновые, так как у  $3d$ -ионов вследствие их меньших размеров сильнее кулоновское отталкивание между электронами. Кроме того, при увеличении радиуса  $d$ -иона увеличивается расстояние между лигандами и уменьшается перекрытие  $d_\gamma$ -функции с лигандами, тогда как перекрытие  $d_e$ -функции с лигандами меняется меньше.

6. Остановимся кратко на одном важном вопросе для физики твердого тела и растворов — скорости таких кинетических процессов, как диффузия в кристаллах [16] и обмен лигандов в растворах [17]. Оба процесса зависят от заряда и радиуса катиона. При увеличении  $Z$  скорости уменьшаются, а при увеличении радиуса — растут. Но имеется еще четкая зависимость от конфигурации  $d$ -оболочки катиона. Ионы с конфигурацией  $d^3$  и  $d^6$  (нс), а также  $d^4$  (нс) и  $d^5$  (нс) медленно обменивают лиганды в растворах [17] и диффундируют в кристаллах при нормальном октаэдрическом расположении лигандов [18]. Отчасти это можно связать с уменьшением радиуса  $d$ -иона при переходе в низкоспиновое состояние, о чем говорилось в п. 4. Однако более важной причиной является «форма»  $d$ -иона:  $d_{\gamma}$ -орбитали, располагаясь между лигандами (см. рисунок), препятствуют сдвиговым деформациям октаэдра лигандов, так как при сдвиге увеличивается перекрытие  $d_{\gamma}$ -электронов с электронами лигандов [18]. Чтобы зафиксировать все шесть лигандов от сдвиговых деформаций, необходимо, чтобы все три  $d_{\gamma}$ -орбитали были заняты электронами. В то же время  $d_e$ -электроны отодвигают лиганды (п. 4) и ослабляют фиксирующее действие  $d_e$ -электронов.

Таким образом, учет энергии перекрывания  $d$ -ионов с лигандами позволяет качественно понять основные экспериментальные факты относительно величины  $\Delta$  в конденсированной фазе.

В настоящее время накоплен большой экспериментальный материал по расщеплению термов  $d$ - и  $f$ -ионов в кристаллическом поле лиганд. Теоретико-групповое рассмотрение вопроса позволяет выявить все параметры, которые необходимы для описания экспериментальных данных. Но для объяснения закономерностей в изменении этих параметров нужна физическая модель.

В настоящей статье используется модель, в которой энергия ионного кристалла представляется как сумма энергии Маделунга и энергии отталкивания, возникающей при перекрытии волновых функций электронов с одинаковым спином катиона и лиганд. Разность энергии перекрытия  $d$ -электрона в состояниях  $d_{\gamma}$  и  $d_e$  дает основной вклад в  $\Delta$  для кубического кристалла.

В работе обсуждаются основные эмпирические закономерности, характеризующие величину  $\Delta$ . А именно: 1)  $\Delta$  приблизительно пропорциональна квадрату заряда катиона; 2) в высокоспиновом состоянии катиона  $\Delta$  меньше, чем в низкоспиновом; 3)  $\Delta$  увеличивается при уменьшении радиуса лиганд или увеличении радиуса катиона; 4)  $\Delta$  зависит от формы лиганд — небольшие, продолговатые лиганды увеличивают  $\Delta$  по сравнению с большими, сферическими лигандами.

### Список литературы

- [1] Борн М., Хуан Кунь. Динамическая теория кристаллических решеток. М.: ИЛ, 1958. 488 с.
- [2] Löwdin P. O. // Adv. Phys. 1956. V. 5. N 17. P. 1—172.
- [3] Гамбош П. Статистическая теория атома и ее применения. М.: ИЛ, 1951. 398 с.
- [4] Теория неоднородного электронного газа / Под ред. С. Лундквист, Н. Марч. М.: Мир, 1987. 400 с.
- [5] Kim Y. S., Gordon R. G. // Phys. Rev. B. 1974. V. 9. N 8. P. 3548—3554.
- [6] Cohen A. J., Gordon R. G. // Phys. Rev. B. 1975. V. 12. N 8. P. 3228—3241.
- [7] Cohen A. J., Gordon R. G. // Phys. Rev. B. 1976. V. 14. N 10. P. 4593—4605.
- [8] Muhlhausen C., Gordon R. G. // Phys. Rev. B. 1981. V. 23. N 2. P. 900—923.
- [9] Берсукер Н. Б. Электронное строение и свойства координационных соединений. Л.: Химия, 1976. 350 с.
- [10] Newmen D. J., Ng B. // Rep. Progr. Phys. 1989. V. 52. N 6. P. 699—763.
- [11] Hubbard J., Rimmer D., Horgood F. // Proc. Phys. Soc. 1966. V. 88. N 1. P. 13—36.
- [12] Грязнов О. С. Вычисление кинетических коэффициентов для полупроводников. Л.: Наука, 1977. 168 с.
- [13] Басало Ф., Пирсон Р. Механизмы неорганических реакций. М.: Мир, 1971. 592 с.

- [14] Крупичка С. Физика ферритов. Т. 1. М.: Мир, 1976. 354 с.
- [15] Вайнштейн Б. К., Фридкин В. М., Инденбом В. Л. Современная кристаллография. Т. 2. М.: Наука, 1979. 360 с.
- [16] Hoshino K., Peterson N. L. // J. Phys. Chem. Soc. 1984. V. 45. N 8/9. P. 963–972.
- [17] Химия и периодическая таблица / Под ред. К. М. Сайто. М.: Мир, 1982.
- [18] Мойжес Б. Я., Супрун С. Г. // ФТТ. 1986. Т. 26. № 9. С. 2868–2870.

ВНИПКТИ источников тока  
Ленинград

Поступило в Редакцию  
5 января 1989 г.  
В окончательной редакции  
19 сентября 1989 г.

---